

3. Каталог данных по тепловому потоку Сибири. - Новосибирск: МГСУ АН СССР, 1985. - 82 с.
4. Чельников П.И., Балобаев В.Т., Кутасов И.М., Девяткин А.А. Геотермические исследования в Центральной Якутии. - Геология и геофизика. 1972, № 12. - С. 134-137.
5. Репин А.Г., Берковченко С.А. Изучение мерзлотно-геотермических условий западной группы газоконденсатных месторождений Халчагайского мегавала // Методы изучения термического режима грунтов криолитозоны. - М.: ВСГИНГЕО, 1989. - С. 58-65.
6. Романовский Н.Н. О взаимодействии криолитозоны и природных газов подземной гидросферы. - М.: Вестник МГУ. Сер. геол., 1980, № 3. - С. 3-17.
7. Тепловое поле недр Сибири. - Новосибирск: Наука, 1987. - 146 с.
8. Термофизические исследования криолитозоны Сибири. - Новосибирск: Наука, 1983. - 213 с.
9. Шарбатин А.А. Экстремальные оценки в геотермии и геокриологии. - М.: Наука, 1974. - 122 с.

ДК 551.340.7

А.В.Брушков (ПНИИИС)

МИГРАЦИЯ ВЛАГИ В МЕРЗЛЫХ ГРУНТАХ ПРИ ПОСТОЯННОМ ГРАДИЕНТЕ ТЕМПЕРАТУРЫ В ДЛЯТЕЛЬНЫХ ЭКСПЕРИМЕНТАХ

Вопрос о миграции влаги в мерзлых грунтах, несмотря на ряд явидных достижений последних лет, остается слабоизученным. В работах Э.Д. Ершова и его сотрудников /1/ экспериментально установлен влагоперенос и льдообразование в мерзлых грунтах различного состава при градиентах температуры 0,0-3,0 °C/см в течение нескольких суток. Показано влияние "открытости" системы и сосредоточено внимание на том, что при стационарном температурном режиме миграция влаги из обезвоживающейся части мерзлого образца и льдонакопление носят затухающий характер. При этом в экспериментах в более теплой части образца изменения влажности достиг-

гали нескольких процентов, а в узкой зоне вблизи холодной части - 20 % и более.

Термодинамически процесс переноса влаги и льдообразование в мерзлых грунтах в условиях постоянного температурного градиента регламентируются, вероятно, механическими и структуризами условиями, а его причина заключается в изменении температуры и соответственном изменении термодинамических характеристик (потенциале и давлении) влаги в пленке, количественные значения которых определяют интенсивность процесса. Не рассматривая аналитически деталей этого сложного явления, можно отметить, что в дальнейшем необходимо продолжать экспериментальные работы для исследования условий его возникновения. Как известно, мерзлые толщи льдосодержащих пород в разной степени подвержены влиянию температурных градиентов, которые, исключая слой сезонного пропитывания, малы (тысячные доли градуса на см), но отличаются значительной продолжительностью воздействия. Если в таких условиях возможны миграция влаги, льдовыделение и изменение криогенного строения пород, это имеет большое практическое значение и может рассматриваться как самостоятельная экспериментальная задача.

В описываемых экспериментах были использованы возможности подземной лаборатории Амдерминской мерзлотной станции, находящейся на глубине нулевых годовых амплитуд колебаний температуры. Подземная лаборатория разделена теплоизоляционными стенками на отсеки, где с помощью греющего кабеля температура поддерживается постоянной в течение многих лет и месяцев. Колебания температуры в течение года обычно не превышают 0,2 °С. В одной из стенок из пенополистирола толщиной 10 см были проделаны цилиндрические отверстия, куда вставлены специальные контейнеры с образцами. Температура на "холодной" стенке равнялась в среднем -3 °С, на "теплой" - 2,5 °С, температурный градиент в грунте (постоянный по длине) составлял таким образом в среднем 0,05 °С/см. В экспериментах был использован суглинок, который отбирался из морских плейстоценовых отложений вблизи пос. Амдерма. Некоторые его свойства приведены в табл. I.

Зависимость содержания незамерзшей воды в суглинке при отрицательных температурах может быть представлена в табл. 2 в вы-

Т а б л и ц а 1

Гранулометрический состав и пластичность суглинка.

Составные частицы, %, при размыве частиц, мм						Характеристика пластичности	
	0,05-0,1	0,1-0,05	0,05-0,01	0,01-0,002	0,002-0,0005	W_t	W_p
2-1	1,0, 5	0,5	0,25	0,1	0,05	-	-
0,3	0,5	1,9	4,6	70,2	12,0	2,6	0,0

Т а б л и ц а 2

Температуры начала замерзания θ_{α_1} и оттаивания θ_{α_2} в зависимости от влажности образцов в повторных опытах

Засоленность, $Z = 0,0 \%$		Засоленность, $Z = 0,5 \%$	
W_{45}	θ_{α_1}	W_{45}	θ_{α_2}
0,442	-0,15	-0,2	-0,3
0,373	-0,1	-0,1	-1,0
0,263	-0,3	-0,2	-1,9
0,174	-1,0	-1,4	-2,0
0,156	-	-	-1,9

де температур начала замерзания (оттакивания) при различной влажности (данные И.С.Петрухина).

При подготовке к эксперименту незасоленный грунт был высущен, измельчен в ступке и замешан одновременно в трех вибростаках (с дистиллированной водой до влажности около 44, 40 % и с раствором морской соли до влажности около 46 %). Приготовленная грунтовая паста выдерживалась для равномерного распределения влаги по объему в течение 3 сут в закрытой посуде, а затем помещалась в специальные контейнеры из полизтиленовой трубы диаметром около 4 см, толщиной стенок 1 мм и длиной 12 см. Трубы заваривались с обоих концов, закладывались в холодильник в горизонтальном положении и выдерживались при температуре -9-11 °C в холодильной камере в течение 3 сут. После промораживания трубы смазывались техническим вазелином в местах сварки (для предотвращения сублимации в возможных дефектах сварных швов) и закладывались в отверстия стенки между отсеками, в контрольных образцах из каждой серии ($W = 40 \%$; $Z = 0 \%$; $W \approx 44 \%$,

$W = 40 \%$; $Z = 0,5 \%$) было изучено распределение по длине влажности и засоленности и криогенное строение. Криогенная текстура была представлена хаотичными, извилистыми ледяными шлирами, вытянутыми в основном вдоль стенок контейнера и равномерно распределенными по длине, толщиной до 0,5-1,0 мм. В засоленном образце ледяные шлиры были тоньше - до 0,5 мм. Начальное распределение влажности и засоленности было следующим (табл.3).

Таблица 3
Распределение влажности и засоленности по длине
контрольных образцов после промораживания.
Опробование через 2 см

Номера образцов	Характе- ристика	Распределение по длине образца				
		1	2	3	4	5
1	$W, g.e$	0,382	0,330	0,394	0,378	0,410
2	$W, g.e$	0,440	0,337	0,427	0,443	0,450
3	$W, g.e$	0,419	0,399	0,390	0,386	0,389
	$Z, \%$	0,47	0,45	0,43	0,43	0,45

Регистрация температур на торцах образцов в стенке велась периодично. В период с 02.09.80 г. по 11.05.90 г. температура на "холодной" стенке изменялась в пределах 2,4-3,0 °С, на "теплой" - 1,8-2,0 °С, понижения и повышения температур происходили согласованно в обоих отсеках, медленно, в течение многих месяцев. Образцы были помещены в стенку 15.07.80 г.

Первые три образца были разделаны 28.01.87 г. Каждый образец был разрезан на 8 равных частей по длине (по 1,25 см в среднем). Результаты определения влажности и засоленности приведены в табл. 4.

Графически распределение влажности в контрольных образцах после 8 мес эксперимента приведено на рис. 1. Визуально в испытанных образцах было едва заметно некоторое увеличение льдистости за счет шлиров вблизи "холодного" края образцов.

Через год после начала эксперимента, 15.07.87 г., была выделена еще одна, более тщательная разделка двух образцов. Каждый образец был равномерно по длине разрезан на 10 частей. Кроме того, грунт был взят на анализ из торцов образца, находившихся в "холодном" и "теплом" отсеках. С каждого образца была снята полимерная реплика. В образце с $W = 0,44$ и $Z = 0\%$ какой-либо концентрации шлиров или общей льдистости не отмечается.

Можно упомянуть лишь, что у "холодного" конца ледяные шлиры (пристеночные) несколько толще и, кроме того, если у "теплого" конца скорее неподносетчатая криотекстура, то у "холодного" конца ледяных шлиров, поэтому именно они и кажутся толще остальных. Для менее влажного ($W = 40\%$) незасоленного образца были характерны шлиры толщиной до 1 мм, длиной 3-7 мм, извилистые, у "теплого" края субвертикальные (перпендикулярные стенкам контейнера), у "холодного" - субгоризонтальные, причем текстура как бы упорядочивается к "холодному" краю, в "теплой" части хаотичных шлиров больше. Распределение влажности представлено в табл. 5.

15.03.88 г., т.е. спустя год и 8 мес после начала эксперимента, был снят еще один образец ($W \approx 40\%$, $Z = 0\%$). Разделка была проведена аналогично предыдущей (табл. 5). "Теплый" край образца при разделке немного выкрошился.

Т а б л и ц а 4
Распределение влажности и засоленности в образцах после
воздействия температурного градиента

Номер образца	Характеристика	Распределение по длине образца					
		"Теплый" край			"Холодный" край		
1	W, %	39,4	40,4	41,2	40,1	40,2	39,1
2	W, %	43,6	42,4	40,9	41,1	40,2	40,7
3	W, %	40,3	39,5	39,5	39,1	38,0	38,8
2,%	Z, %	0,47	0,52	0,46	0,45	0,47	0,52

Т а б л и ц а 5
Распределение влажности по длине образцов после года
воздействия температурного градиента

Номер образца	Характеристика	Распределение по длине образца					
		"Теплый" край			"Холодный" край		
1	W, %	41,4	41,2	41,0	40,3	40,9	40,4
2	W, %	45,8	44,9	43,2	43,0	42,8	42,3

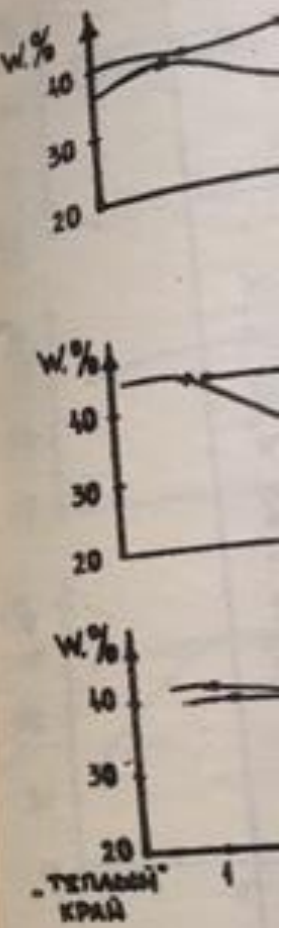


Рис. 1. Распределение влажности по длине образца №1

Последовательно спустя 3 года изучен один из образцов. Один из образцов оставлен влажным, другой (2 см) пропитан водой. Время влажности определено аналитическим путем предварительного

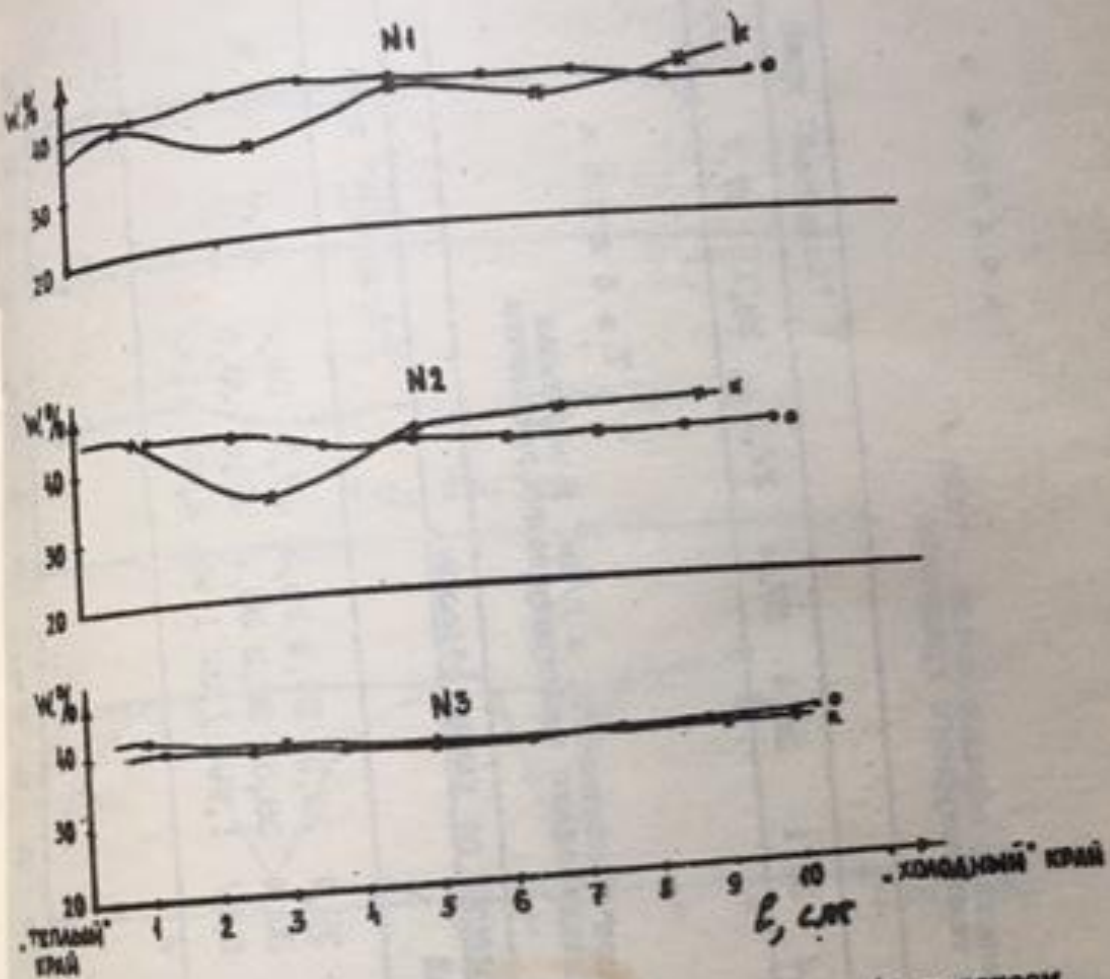


Рис. I. Распределение влажности в контрольных (с индексом "0") и опытных образцах после 6 мес эксперимента ("0")

Последняя разделка образцов была проведена 10.04.90 г., спустя 3 года и 9 месяцев после начала эксперимента. Был изучен один незасоленный и два засоленных образца при $W \approx 40\%$. Один из засоленных образцов был разделан для определения влажности, другой - плотности. Ввиду малого диаметра образцов (2 см) предпринимавшие ранее попытки одновременного определения влажности и плотности привели к результатам, не обеспеченным надлежащей точностью определения, несмотря на использование аналитических весов, стеклянных боксов и другой техники. Результаты представлены на рис. 2 и в табл. 7.

Т а б л и ц а 6
Распределение влажности в образце после 1 года и
3 мес воздействия температурного градиента

Номер- харак- теристик образцов типа	"Теплый" край			"Холодный" край		
	39,4	39,1	39,8	39,9	37,2	37,1
1	39,4	39,1	39,8	39,9	37,2	37,1
2	39,5	39,2	39,2	39,3	39,7	39,5
3	39,5	37,5	40,5	40,5	30,1	30,4
4	1,80	1,81	2,15	1,80	1,67	1,99

Т а б л и ц а 7
Распределение влажности и плотности в образцах
после 3 лет и 3 мес воздействия температурного градиента

Номер- харак- теристик образцов типа	"Теплый" край			"Холодный" край		
	W, %	ρ, $\text{г}/\text{см}^3$	W, %	ρ, $\text{г}/\text{см}^3$	W, %	ρ, $\text{г}/\text{см}^3$
1	37,5	39,2	39,2	39,3	39,7	39,5
2	26,5	37,5	40,5	40,5	10,1	30,4
3	1,80	1,81	2,15	1,80	1,67	1,99

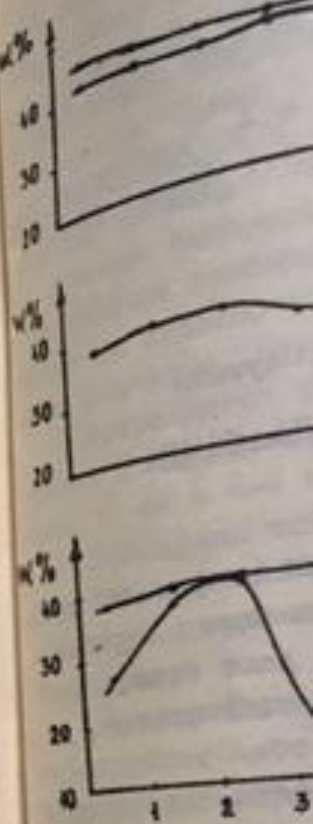


Рис.2. Распределение влажности в образцах

Результаты
загляд, на возм-
ния мерзлых гру-
чение длительно-
положения о су-
ществование
магопереноса в
ные.

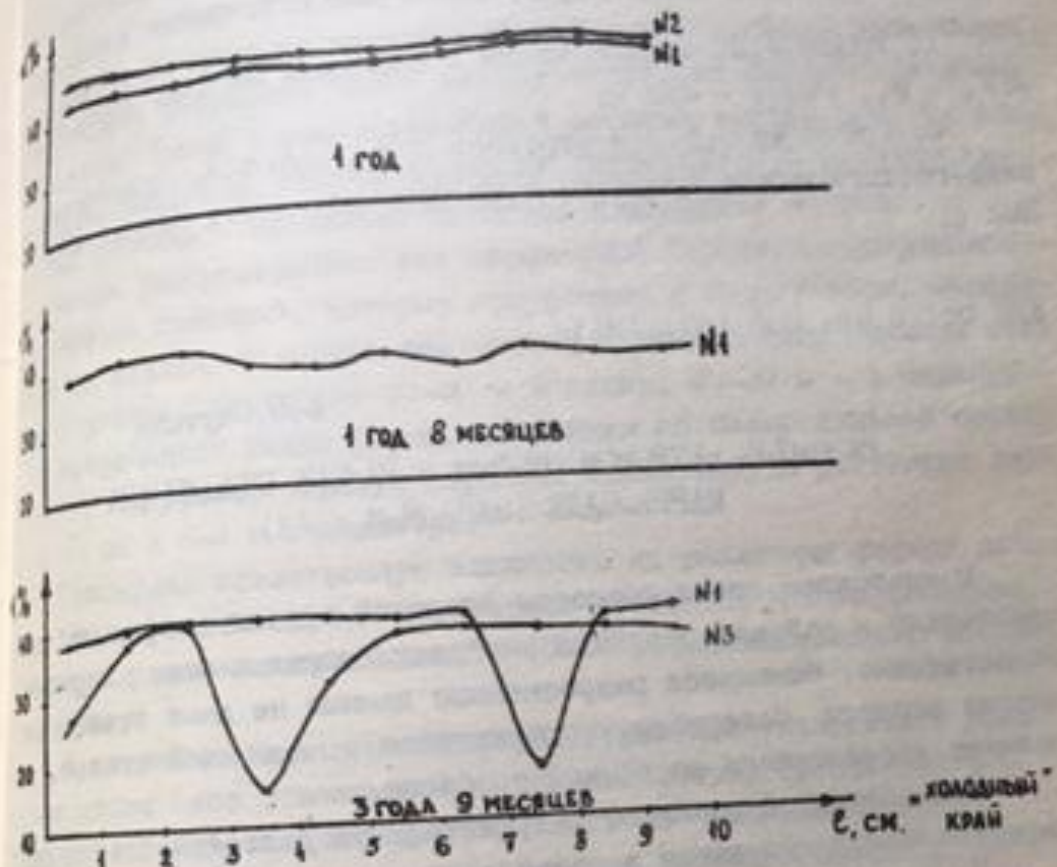


Рис.2. Распределение влажности (весовой) в образцах суглинка при разной длительности эксперимента.

Результаты проведенных исследований указывают, на наш взгляд, на возможность некоторого изменения криогенного строения мерзлых грунтов в малоградиентных температурных полях в течение длительного времени и одновременно не подтверждают предположения о существовании значительных объемов направленного теплопереноса из относительно теплых мерзлых зон в более холодные.

Список использованных источников

1. Ершов Э.Д. Физико-химия и механика мерзлых пород. М.: Недра, 1980. - 333 с.
2. Гречишев С.Е., Чистотинов Л.В., Шурчук А. Криогенные физико-геологические процессы и их прогноз. - М.: Недра, 1980. - 382 с.

УДК 551.3.051.053 (571.121)

Б.В. Сауткин

РАЗВИТИЕ ВЕТРОВОЙ ЭРОЗИИ В РАЙОНЕ СТАЦИОНАРА
МАРРЕ-САЛЕ (ЗАПАДНЫЙ ЯМАЛ)

В настоящее время процессы ветровой эрозии (дефляции) применительно к районам развития многолетнемерзлых пород изучены недостаточно. Имеющиеся разрозненные данные не дают ответа на многие вопросы. Материалы, содержащиеся в настоящей статье, дополняют исследования по данной проблеме.

Под дефляцией понимают разрушительную деятельность ветра, выражющуюся в выдувании и раззвевании рыхлого материала^{x)}.

Исследования проводились на участке площадью 15 км², прилегающей к теплобалансовому стационару ВСЕГИНГЕО, на территории, расположенной в краевой части и частично на морских террасах. На рассматриваемой площади процессу дефляции подвержено 20 % территории. Область раззвевания песков приурочена в основном к возвышенным частям останцовой поверхности и наиболее ярко выражена в районе берегового обрыва. Дефляции подвержен аллювий каргинско-сартанского и голоценового времени.

Интенсивность дефляции определяется, главным образом, климатическими условиями (ветровым режимом, распределением осадков) и свойствами грунтов, вследствие чего образуются различные золовые отрицательные формы рельефа.

^{x)} Геологический словарь. - М.: Недра, 1973. - С. 219.